

I-12 単一走行荷重Pによる単純桁橋の動特性の推定

武藏工業大学 正会員 星谷 勝
 フジタ工業(株) 正会員 斎藤 悅郎
 武藏工業大学 ○学生員 丸山 政

1. はじめに

既存の橋梁の動特性(ω_n, β_n)を精度よく知ることは、動的設計、老朽化、安全性、及び歩行者の振動感覚等の評価に対する非常に重要である。現在、一般的には、地震観測、常時微動の測定、起振器実験、走行車両による振動測定、衝撃試験等から、動特性を推定している。

本研究は、走行車両による振動測定から得られるデータに基づき、著者が開発した、EK-WG法を用いて橋梁の動特性、車両の重量、及び走行速度を推定するものである。

ここで、第一段階として、EK-WG法による荷重-橋梁系の動特性推定問題の有効性を、検証するためにあらかじめ与えられた諸元^{*1), *2)}を用いた。この目的のため、まず荷重-橋梁系モデルを用いて、応答計算を行ない、その応答波形を、EK-WG法の観測データとした。なおモデルは、滑かな路面を有する単純桁橋上で、集中荷重上が走行するものとした。

2. 応答計算

図-1に示すような橋梁系の1次固有振動モードを、 $y_n(x)$ とし、また時間関数を $y_n(t)$ とするし、任意の観測位置 x_1 での動的たわみは次式で示される。

$$z(x_1, t) = \sum_{n=1}^{\infty} y_n(x_1) \cdot y_n(t) \quad (1)$$

また、接地力 P は、時間 t に於ける位置 x_1 で一定あるとするし、 $y_n(t)$ における微分方程式は次式で与えられる。

$$\ddot{y}_n(t) + 2\beta_n w_n \dot{y}_n(t) + w_n^2 y_n(t) = \frac{2P}{WL} \sin \frac{n\pi Vt}{L} \quad (2)$$

$$(0 \leq t \leq \frac{L}{V})$$

$$\text{ここで } y_n(x) = \sin \frac{n\pi x}{L}$$

(1), (2)式より1次振動モードにおける x_1 での運動方程式は次式で示される。

$$\ddot{z}(x_1, t) + 2\beta_n w_n \dot{z}(x_1, t) + w_n^2 z_n(x_1, t) = \frac{2P}{WL} \sin \frac{n\pi Vt}{L} \sin \frac{n\pi x_1}{L} \quad (3)$$

$$\text{ここで } w_n = \left(\frac{n\pi}{L}\right)^2 \sqrt{\frac{EIg}{W}}, \quad \beta_n = \frac{1}{2} \frac{w_n}{z_n}, \quad \frac{gC}{W}$$

次にEK-WG法に用いる観測データを作成する。荷重-橋梁系モデルの諸元は、図-1に示した。また、ここでは、位置 $x_1=1.5$ での応答波形を観測データとした(図-2)。なお、橋梁系の2次以上の高次振動は、1次振動に比較して小さいことから、1次振動のみ考慮した。

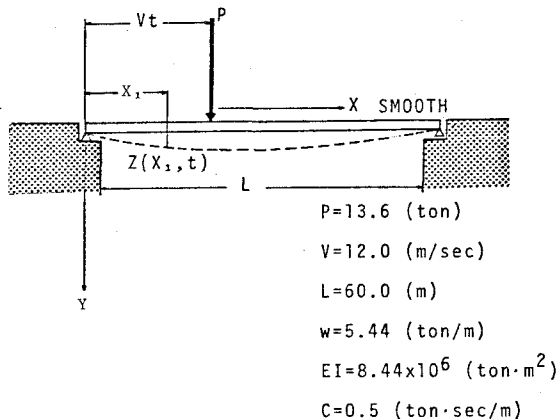


図-1. 荷重-橋梁系モデル

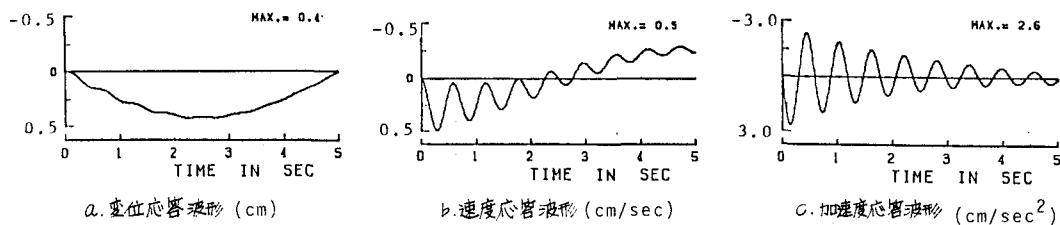


図-2. 応答波形

3. EK-WG I 法

EK-WG I 法は、時系列解析である現代制御理論の、拡張カルマンフィルターアルゴリズムを、グローバルに重み付けさせ、くり返す方法である。拡張カルマンフィルターは、非線形の状態方程式と観測方程式から構成されている。(3)式の運動方程式と推定するパラメータ(β, ω, P, V)と、非線形状態方程式に組み込むためには、状態空間による表示が必要である。

ここでは、1次振動モードのみ考慮するため、(3)式は以下の様に示される。

$$\ddot{Z}_1(X_1, t) + 2\beta_1 \dot{W}_1 \ddot{Z}_1(X_1, t) + \omega_1^2 Z_1(X_1, t) = \frac{2\beta_1}{WL} \sin \frac{\pi \Delta t}{L} \sin \frac{\pi X_1}{L} \quad (4)$$

次に状態量を、 $X_1 = Z_1, X_2 = \dot{Z}_1, X_3 = \ddot{Z}_1, X_4 = \beta_1, X_5 = \omega_1, X_6 = P, X_7 = V$ として表す。

そして、パラメータは定常であるものとして、線形加速度法を用いて離散化すると、(5)式の非線形離散型状態方程式が得られる。

$$X_{k+1} = \begin{cases} X_1(k+1) \\ X_2(k+1) \\ X_3(k+1) \\ X_4(k+1) \\ X_5(k+1) \\ X_6(k+1) \\ X_7(k+1) \end{cases} = \begin{cases} \left(1 + \frac{\Delta^2}{b} A_1\right) X_1(k) + \left(\Delta + \frac{\Delta^2}{b} B_1\right) X_2(k) + \left(\frac{\Delta^2}{3} + \frac{\Delta^2}{b} C_1\right) X_3(k) + \frac{\Delta^2}{b} D_1 X_6(k) \left\{ -\frac{2\beta_1}{WL} \sin \frac{\pi \Delta t(k+1)}{L} \sin \frac{\pi X_1}{L} \right\} \\ \frac{\Delta}{2} A_1 X_1(k) + \left(1 + \frac{\Delta}{2} B_1\right) X_2(k) + \left(\frac{\Delta}{2} + \frac{\Delta}{2} C_1\right) X_3(k) + \frac{\Delta}{2} D_1 X_6(k) \left\{ -\frac{2\beta_1}{WL} \sin \frac{\pi \Delta t(k+1)}{L} \sin \frac{\pi X_1}{L} \right\} \\ A_1 X_1(k) + B_1 X_2(k) + C_1 X_3(k) + D_1 X_6(k) \left\{ -\frac{2\beta_1}{WL} \sin \frac{\pi \Delta t(k+1)}{L} \sin \frac{\pi X_1}{L} \right\} \\ X_4(k) \\ X_5(k) \\ X_6(k) \\ X_7(k) \end{cases} \quad (5)$$

$$\text{ここで}, \quad \begin{aligned} \dot{x}_1 &= -\left[1 + \Delta \{X_4(k)\}\{X_5(k)\} + \frac{\Delta^2}{5} \{X_5(k)\}^2\right]^{-1}, \quad A_1 = D_1 \{X_5(k)\}^2, \quad \Delta = \Delta t, \quad \Delta \text{; 時間刻み} \\ B_1 &= D_1 \{2 \{X_4(k)\}\{X_5(k)\} + \Delta \{X_5(k)\}^2\}, \quad C_1 = D_1 \{4 \{X_4(k)\}\{X_5(k)\} + \frac{\Delta^2}{3} \{X_5(k)\}^2\} \end{aligned}$$

また、変位応答波形を観測データとした場合の観測方程式は、以下の様に示される。

$$y_k = [1, 0, 0, 0, 0, 0, 0] X_k + V_k \quad (6)$$

ここで、 y_k ; Δt 時間での応答変位, V_k ; ガウス白色雑音

4. 推定結果

表-1 真値

パラメータ	真値
B_1	0.0421
ω_1	10.690 (rad/sec)
P	13.6 (ton)
V	12.0 (m/sec)

表-2 初期条件

パラメータ	初期値
B_1	0.01
ω_1	10.0 (rad/sec)
P	10.0 (ton)
V	10.0 (m/sec)

表-3 推定結果

観測測定	Dis.	Vel.	Acc.
B_1	0.0421	0.0420	0.0420
ω_1 (rad/sec)	10.689	10.690	10.689
P (ton)	13.6	13.47	13.12
V (m/sec)	12.0	12.1	12.44
くり返し回数(回)	5	8	9

表-3と表-1を比較すると、非常に良い精度で、各パラメータを推定できることがわかる。また、表-2の初期条件では、変位、速度、加速度の順に、安定して結果を得るまでのくり返し回数が必要であることがわかる。

今後は、路面の凹凸、走行荷重のモデル化、及び非線形へと、非線形状態方程式を拡張する予定である。また実験データに基づいて、既存構造の動特性の推定を行なう予定である。

* 参考文献 1) 星野、齋藤；拡張カルマンフィルターを用いた同定問題の各振動系への応用、土論集 Vol.33, p.59-67, 1963

2) 星野、齋藤；線形多自由度系の動特性の推定、土論集(未掲載)

3) Jozwiak L.A. M.; Probabilistic Process and Filtering Theory, 1970

4) 菊村、高坂、内若；单一行車車輪による直道路橋の非定常ランダム応答解析、土論集 Vol.35 p.53-64, 1977